

# MODELAGEM E IMPLEMENTAÇÃO DE UM SISTEMA BALL AND PLATE CONTROLADO POR SERVO-VISÃO

RAFAEL DA SILVEIRA CASTRO\*, JACSON MIGUEL OLSZANECKI BARTH\*, JEFERSON VIERA FLORES\*,  
AURÉLIO TERGOLINA SALTON\*

\*PUCRS - Grupo de Automação e Controle de Sistemas  
Av. Ipiranga, 6681, 90619-900  
Porto Alegre (RS), Brasil

Emails: rafa.castro@brturbo.com.br, jacsonmiguel.b@hotmail.com,  
jeferson.flores@pucrs.br, aurelio.salton@pucrs.br

**Abstract**— This paper presents the construction and control of a Ball and Plate system. The constructed prototype aims to balance a free rolling ball on a platform by orienting the plate. The Linear Quadratic Gaussian Control theory is applied on this project. The ball sensing method uses a position-based servo-vision algorithm. Experimental results illustrate the system behavior following different trajectories.

**Keywords**— Ball and Plate System, Dynamic Modelling, Digital Control, LQG, Servo-Vision.

**Resumo**— Este artigo apresenta a construção e o controle de um sistema *Ball and Plate*. O protótipo construído tem o objetivo de regular a posição ou trajetória de uma esfera rolante sobre uma plataforma pelo comando da orientação desta placa. A teoria de controle *Linear Quadratic Gaussian* é aplicada neste projeto e o monitoramento do sistema utiliza o método de servo-visão baseado em posição. Os resultados comprovam a eficiência do sistema no seguimento de diferentes trajetórias.

**Palavras-chave**— Sistema *Ball and Plate*, Modelagem Dinâmica, Controle Digital, LQG, Servo-Visão.

## 1 Introdução

O desafio de controle de sistemas de equilíbrio está em constante estudo pela ciência, para aplicações que variam da robótica até o transporte (Andrews et al., 2004). Neste contexto destaca-se a manipulação de uma esfera rolante sobre uma plataforma orientável, sistema conhecido como *Ball and Plate* (Bola e Placa). Implementações práticas deste sistema são muito utilizadas como ferramentas laboratoriais para fins educacionais bem como para pesquisas no ramo de engenharia de controle (Ker et al., 2007).

O objetivo principal do controle de um sistema *Ball and Plate* é permitir o posicionamento da esfera em qualquer ponto da placa, além de impor à bola o seguimento de trajetórias. Esta tarefa deve ser realizada apenas pela alteração da orientação da plataforma.

Em geral, a estrutura mecânica dos sistemas *Ball and Plate* encontrados na literatura possuem um plataforma inclinável em ambos os eixos longitudinal e latitudinal. Muitos destes projetos utilizam motores de corrente contínua (Andrews et al., 2004; Wang et al., 2007; Awatar et al., 2002) ou servo-motores (Zia, 2011; Braescu et al., 2012). A vantagem na utilização deste último é o baixo custo e a praticidade para aplicação no projeto, dado que estes dispositivos já possuem internamente um controle em malha-fechada, em contrapartida aos projetos com motores tradicionais. A desvantagem na utilização dos servos é a pouca disponibilidade de potência para construção de estruturas de maior porte. Apesar da preferência

pelos motores em implementações *Ball and Plate* podem ser encontrados projetos com atuadores lineares magnéticos (Ker et al., 2007), além de um braço robótico para orientação direta da plataforma (Park and Lee, 2003; Lee et al., 2008).

Diversas teorias de controle já foram aplicadas para o controle do sistema em questão. Waldwogel (2010) realiza a comparação entre os métodos *Proportional Integral Derivative (PID)*, *Linear Quadratic Gaussian (LQG)*, *Model Predictive Control (MPC)* para trajetórias quadradas e circulares. Seus resultados comprovam um menor erro de seguimento nos controles *LQG* e *MPC* em relação ao *PID*, no entanto pouca diferença entre *MPC* e *LQG*. Este último, contudo leva certa vantagem pela maior facilidade em sua síntese e melhor eficiência computacional que o *MPC*. Entre outras estratégias já aplicadas com sucesso para o controle de sistemas *Ball and Plate* estão: *Backstepping Control* (Moarref et al., 2008), *Sliding-Mode Control* (Park and Lee, 2003) e *Auto-Disturbance Rejection Controller (ADCR)* (Duan et al., 2009).

Um dos principais fatores para o sucesso da implementação de um controle para o sistema *Ball and Plate* é a técnica de sensoriamento da esfera. Para viabilização desta tarefa a literatura está dividida principalmente entre dois métodos distintos. Uma destas maneiras consiste na utilização de uma tela sensível ao toque (*touch screen display*) acoplado ou constituindo a placa (Andrews et al., 2004; Zia, 2011; Braescu et al., 2012; Awatar et al., 2002). O outro método largamente utilizado é o monitoramento por um dispositivo de aquisição de imagens como uma *webcam*

(Park and Lee, 2003; Wang et al., 2007; Moarref et al., 2008; Waldwogel, 2010). O display *touch screen* apresenta vantagem de permitir um período de amostragem menor que o tempo de aquisição de quadros das *webcams* comerciais, além de não necessitar da lógica extra de processamento de imagem. A utilização da *webcam* constitui uma solução mais complexa, no entanto mais versátil e com menor custo que a solução com tela de toque.

Este trabalho contribui com a modelagem e implementação física de um aparato *Ball and Plate* composto por uma placa orientável atuada por dois servo-motores (ver Figura 1). A estratégia de controle adotada basicamente segue a metodologia *LQG* e o monitoramento da esfera é realizado por servo-visão *position-based*, que consiste na determinação da posição cartesiana da esfera sobre a placa pelas imagens adquiridas da câmera (Park and Lee, 2003).

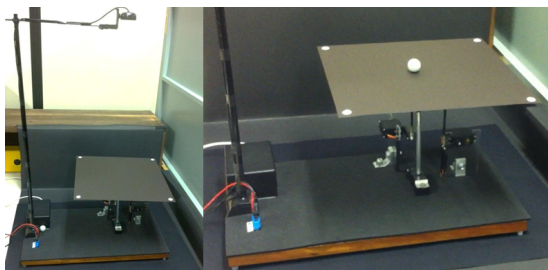


Figura 1: Protótipo *Ball and Plate* desenvolvido.

## 2 Estrutura Física

Esta seção apresenta os aspectos físicos do sistema *Ball and Plate* desenvolvido, incluindo descrições dos dispositivos utilizados e detalhes do projeto da plataforma orientável.

### 2.1 Dispositivos do Sistema

O sistema desenvolvido funciona pela interação de diversos dispositivos, conforme apresentado na Figura 2.

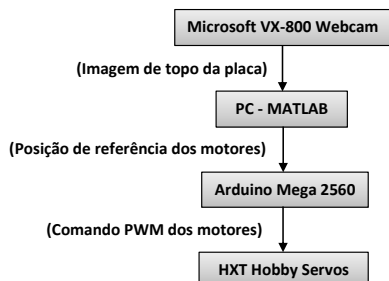


Figura 2: Diagrama dos dispositivos do sistema.

A *webcam* *Microsoft VX-800* utilizada possui taxa de aquisição constante de 30 quadros por segundo a resolução de  $640 \times 480$  *pixels*. Para o processamento das imagens e controle do sistema foi utilizado um *PC* via o *software* *MATLAB*. Uma

placa *Arduino Mega 2560* realiza a interface de comunicação entre o computador e os dispositivos de atuação do sistema. Estes atuadores são servo-motores *Hextronik HXT12K* com controle de posição interno em malha-fechada.

### 2.2 Projeto da Plataforma Orientável

A plataforma do sistema é uma chapa de acrílico de  $280 \times 280$  *mm* e espessura de  $4$  *mm*. Esta placa é fixada em seu centro por uma junta universal para restringir a movimentação. A orientação é comandada por dois braços articulados, cada um conectado ao eixo do motor e à placa por outras duas juntas universais. O esquemático na Figura 3 apresenta simultaneamente as vistas frontal e lateral do mecanismo.

Para utilização desta plataforma orientável no controle do sistema *Ball and Plate* foi realizada a modelagem cinemática do mecanismo de modo a encontrar relações matemáticas para as posições angulares  $\theta_\alpha$  e  $\theta_\beta$  dos servo-motores em função da orientação espacial  $\alpha$  e  $\beta$  da plataforma.

Pela análise geométrica do mecanismo de movimentação da placa, conforme Figura 3, determina-se as seguintes relações cinemáticas simplificadas do sistema:

$$\begin{aligned} d_1 \operatorname{sen}(\theta_\alpha) &= d_3 \operatorname{sen}(\alpha), \\ d_1 \operatorname{sen}(\theta_\beta) &= d_3 \operatorname{sen}(\beta). \end{aligned}$$

## 3 Modelagem Dinâmica

Esta seção apresenta as equações dinâmicas do sistema *Ball and Plate* e a representação de modelos no espaço de estados. Estes modelos obtidos são utilizados para o projeto do controle da planta.

### 3.1 Equações Diferenciais do Sistema

Para obtenção de um modelo de equações diferenciais da dinâmica do sistema é conveniente a aplicação da Mecânica Lagrangiana (Deriglazov, 2010) pela derivação da seguinte expressão genérica (Equação de *Euler-Lagrange*):

$$\frac{d}{dt} \frac{\partial L}{\partial \dot{q}_i} - \frac{\partial L}{\partial q_i} = Q_i. \quad (1)$$

Este método consiste em determinar uma função Lagrangiana  $L(\dot{q}_i, q_i) = T(\dot{q}_i, q_i) - V(q_i)$  em função das coordenadas generalizadas ou graus de liberdade do sistema  $q_i$  e suas taxas de variação  $\dot{q}_i$ , onde  $T$  é a energia cinética total do sistema e  $V$  a energia potencial total. O termo dissipativo  $Q_i$  em (1) representa uma força composta externa atuante no sistema.

A energia cinética total  $T$  do sistema é determinada pela soma das energias cinéticas de translação  $T_t$  e de rotação  $T_r$ . A energia de translação depende da massa  $m_B$  da esfera e das velocidades

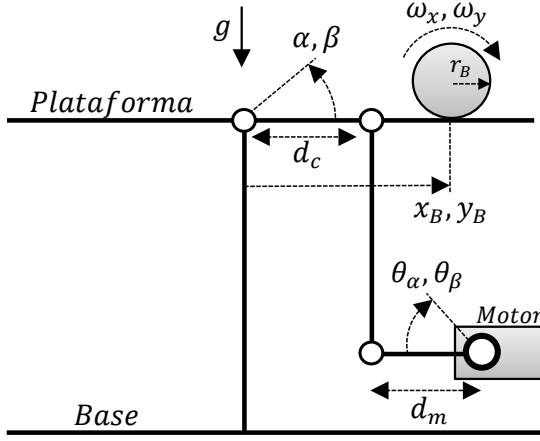


Figura 3: Esquemático do sistema *Ball and Plate*.

lineares  $\dot{x}_B$  e  $\dot{y}_B$  que o objeto translada, pela relação  $T_t = \frac{1}{2} m_B (\dot{x}_B^2 + \dot{y}_B^2)$ , já a energia de rotação depende do momento de inércia  $I_B$  da esfera e das velocidades angulares  $\omega_x$  e  $\omega_y$  que o objeto rotaciona, segundo a relação  $T_r = \frac{1}{2} I_B (\omega_x^2 + \omega_y^2)$ .

Sendo o raio  $r_B$  da esfera conhecido, pode-se reescrever  $T_r$  em função das velocidades lineares  $\dot{x}_B$  e  $\dot{y}_B$  pela utilização das igualdades  $\omega_x = \dot{x}_B/r_B$  e  $\omega_y = \dot{y}_B/r_B$ . O momento de inércia  $I_B$  também pode ser escrito pela expressão  $I_B = \frac{2}{5} m_B r_B^2$ , supondo uma esfera compacta.

A energia potencial total  $V$  do sistema é dada pela incidência da força gravitacional conforme a relação  $V = m_B g (x_B \text{sen}(\alpha) + y_B \text{sen}(\beta))$ .

Construindo a função Lagrangiana pelas definições anteriores e aplicando na Equação de Euler-Lagrange em (1) para  $q_i = [x_B \ y_B]$  e  $Q_i = [F_x \ F_y]$  obtém-se as seguintes equações diferenciais que descrevem a movimentação da esfera:

$$\begin{aligned} \frac{7}{5} \ddot{x}_B(t) + g \text{sen}(\alpha(t)) &= \frac{1}{m_B} F_x(t), \\ \frac{7}{5} \ddot{y}_B(t) + g \text{sen}(\beta(t)) &= \frac{1}{m_B} F_y(t). \end{aligned}$$

Visto que será trabalhado com inclinações pequenas na placa ( $\pm 25^\circ$ ) é válido simplificar:  $\text{sen}(\alpha(t)) \approx \alpha(t)$  e  $\text{sen}(\beta(t)) \approx \beta(t)$ .

Já as forças dissipativas  $F_x(t)$  e  $F_y(t)$  podem ser escritas como

$$\begin{aligned} F_x(t) &= -f_c \dot{x}_B(t) + d_x(t), \\ F_y(t) &= -f_c \dot{y}_B(t) + d_y(t), \end{aligned}$$

onde  $f_c$  é o fator de atrito cinético entre a esfera e placa e  $d_x(t)$  e  $d_y(t)$  são forças de distúrbios atuantes na esfera.

Para modelar a movimentação  $\alpha(t)$  e  $\beta(t)$  em função de suas referências  $r_\alpha(t)$  e  $r_\beta(t)$  será assumido relações de segunda ordem genéricas, com frequência natural  $\omega_n$  e fator de amortecimento  $\xi$ , conforme:

$$\begin{aligned} \ddot{\alpha}(t) + 2\xi\omega_n \dot{\alpha}(t) + \omega_n^2 \alpha(t) &= \omega_n^2 r_\alpha(t), \\ \ddot{\beta}(t) + 2\xi\omega_n \dot{\beta}(t) + \omega_n^2 \beta(t) &= \omega_n^2 r_\beta(t). \end{aligned}$$

### 3.2 Modelos em Espaço de Estados

Para aplicação das técnicas de projeto de controle foram obtidos dois modelos em espaço de estados a partir das equações diferenciais do sistema.

Ambos os modelos obtidos possuem sinais de entrada  $u_x(t) = r_\alpha(t)$  e  $u_y(t) = r_\beta(t)$ , além de sinais de saída  $z_x(t) = x_B(t)$  e  $z_y(t) = y_B(t)$ .

Para simplificar a notação segue que  $u_{x|y}(t)$  denota tanto  $u_x(t)$  quanto  $u_y(t)$ , da mesma forma que  $z_{x|y}(t)$  denota tanto  $z_x(t)$  quanto  $z_y(t)$ . A mesma notação será aplicada aos vetores de estados de cada modelo.

- **Modelo Básico:** Desconsidera a dinâmica dos motores, assumida como muito mais rápida que a dinâmica da esfera. Neste caso, as referências  $r_\alpha(t)$  e  $r_\beta(t)$  são exatamente os ângulos reais, respectivamente  $\alpha(t)$  e  $\beta(t)$  da placa. Também desconsidera a presença dos distúrbios externos  $d_x(t)$  e  $d_y(t)$ . Esta representação contempla as características básicas do sistema, portanto foi utilizada para o projeto da realimentação de estados (*LQR*). O modelo básico é definido por vetores de estados  $\varphi_{x|y}(t)$  conforme as relações:

$$\begin{aligned} \dot{\varphi}_{x|y}(t) &= A_\varphi \varphi_{x|y}(t) + B_\varphi u_{x|y}(t), \\ z_{x|y}(t) &= C_\varphi \varphi_{x|y}(t), \end{aligned}$$

$$\varphi_x = \begin{bmatrix} x_B \\ \dot{x}_B \end{bmatrix}, \quad \varphi_y = \begin{bmatrix} y_B \\ \dot{y}_B \end{bmatrix}, \quad C_\varphi = \begin{bmatrix} 1 & 0 \end{bmatrix},$$

$$A_\varphi = \begin{bmatrix} 0 & 1 \\ 0 & -\frac{5}{7} \frac{f_c}{m_B} \end{bmatrix}, \quad B_\varphi = \begin{bmatrix} 0 \\ -\frac{5}{7} g \end{bmatrix},$$

- **Modelo Aumentado:** Considera a dinâmica da esfera e a dinâmica do mecanismo de movimentação da placa. Também possui estados adicionais que incluem os distúrbios  $d_x(t)$  e  $d_y(t)$  assumidos constantes, isto é,  $\dot{d}_x(t) \approx 0$  e  $\dot{d}_y(t) \approx 0$ . Esta representação foi utilizada no projeto do observador de estados (Filtro de *Kalman*) que requer um modelo relativamente preciso para a qualidade das estimações. O modelo aumentado é definido por estados  $\sigma_{x|y}(t)$  conforme as expressões:

$$\begin{aligned} \dot{\sigma}_{x|y}(t) &= A_\sigma \sigma_{x|y}(t) + B_\sigma u_{x|y}(t), \\ z_{x|y}(t) &= C_\sigma \sigma_{x|y}(t), \end{aligned}$$

$$\sigma_x = \begin{bmatrix} x_B \\ \dot{x}_B \\ \alpha \\ \dot{\alpha} \\ d_x \end{bmatrix}, \quad \sigma_y = \begin{bmatrix} y_B \\ \dot{y}_B \\ \beta \\ \dot{\beta} \\ d_y \end{bmatrix}, \quad B_\sigma = \begin{bmatrix} 0 \\ 0 \\ 0 \\ \omega_n^2 \\ 0 \end{bmatrix},$$

$$A_\sigma = \begin{bmatrix} 0 & 1 & 0 & 0 & 0 \\ 0 & -\frac{5}{7} \frac{f_c}{m_B} & -\frac{5}{7} g & 0 & \frac{5}{7} \frac{1}{m_B} \\ 0 & 0 & 0 & 1 & 0 \\ 0 & 0 & -\omega_n^2 & -2\xi\omega_n & 0 \\ 0 & 0 & 0 & 0 & 0 \end{bmatrix},$$

$$C_\sigma = \begin{bmatrix} 1 & 0 & 0 & 0 & 0 \end{bmatrix}.$$

Os estados  $\varphi_{x|y}(t)$  do modelo básico e os estados  $\sigma_{x|y}(t)$  do modelo aumentado estão relacionados pela seguinte expressão:

$$\begin{aligned} \varphi_{x|y}(t) &= E_\sigma \sigma_{x|y}(t), \\ E_\sigma &= \begin{bmatrix} 1 & 0 & 0 & 0 & 0 \\ 0 & 1 & 0 & 0 & 0 \end{bmatrix}. \end{aligned} \quad (2)$$

### 3.3 Discretização dos modelos

Visando a aplicação de técnicas de controle em tempo discreto, os modelos contínuos foram convertidos para a representação

$$\begin{aligned} \varphi_{x|y}(k+1) &= \mathcal{A}_\varphi \varphi_{x|y}(k) + \mathcal{B}_\varphi u_{x|y}(k), \\ \sigma_{x|y}(k+1) &= \mathcal{A}_\sigma \sigma_{x|y}(k) + \mathcal{B}_\sigma u_{x|y}(k), \end{aligned}$$

onde  $k$  é o número da amostra dado por  $k = t/T_s$  sendo  $T_s$  o período de amostragem do sistema.

Para encontrar as matrizes  $\mathcal{A}_i$  e  $\mathcal{B}_i$  dos modelos discretos em função das matrizes  $A_i$  e  $B_i$  dos modelos contínuos (para  $i = \varphi|\sigma$ ) de forma a atender a igualdade  $k = t/T_s$  pode-se aplicar a fórmula de Discretização Exata (DeCarlo, 1995)  $\Phi_i = e^{T_s \Omega_i}$ , onde  $\Phi_i$  e  $\Omega_i$  são:

$$\Phi_i = \begin{bmatrix} \mathcal{A}_i & \mathcal{B}_i \\ 0 & I \end{bmatrix}, \quad \Omega_i = \begin{bmatrix} A_i & B_i \\ 0 & 0 \end{bmatrix}.$$

## 4 Projeto do Controle

O controle do sistema é realizado pelo método *Linear Quadratic Gaussian (LQG)* (Dorato et al., 1995) que consiste na combinação de uma realimentação ótima de estados pelo *Linear Quadratic Regulator (LQR)* com um observador ótimo de estados pelo Filtro de *Kalman*.

### 4.1 Realimentação de Estados - LQR

A lei de controle que regula o sistema consiste na realimentação dos estados estimados  $\hat{\varphi}_{x|y}(k)$  por um vetor de ganhos  $K$ , conforme a equação

$$u_{x|y}(k) = -K \hat{\varphi}_{x|y}(k) + G_r r_{x|y}(k), \quad (3)$$

onde as referências  $r_{x|y}(k)$  são as respectivas posições  $z_{x|y}(k)$  desejadas na esfera e  $G_r$  é o fator de correção, calculado por

$$G_r = (C_\varphi (I - \mathcal{A}_\varphi + \mathcal{B}_\varphi K)^{-1} \mathcal{B}_\varphi)^{-1},$$

para obtenção de ganho *DC* unitário entre as referências  $r_{x|y}(k)$  e as saídas  $z_{x|y}(k)$ .

O controlador *LQR* consiste na solução do vetor de ganhos  $K$  que minimiza o funcional de custo

$$J_{LQR} = \sum_{k=0}^{\infty} (\varphi'_{x|y} Q \varphi_{x|y} + u'_{x|y} R u_{x|y})$$

em função de matrizes  $Q$  e  $R$  que penalizam a energia dos estados do sistema e dos sinais de controle, respectivamente.

O ganho  $K$  ótimo que minimiza  $J_{LQR}$  é calculado pela expressão

$$K = (R + \mathcal{B}'_\varphi P \mathcal{B}_\varphi)^{-1} \mathcal{B}'_\varphi P \mathcal{A}_\varphi,$$

onde a variável  $P$  é a solução para a seguinte *Equação de Riccati*:

$$P = \mathcal{A}'_\varphi (P - P \mathcal{B}_\varphi (R + \mathcal{B}'_\varphi P \mathcal{B}_\varphi)^{-1} \mathcal{B}'_\varphi P) \mathcal{A}_\varphi + Q.$$

Esta última equação não possui solução analítica, logo foi utilizada a função “*dare*” do software *MATLAB* para a resolução numérica.

As matrizes de penalização  $Q$  e  $R$  foram construídas conforme  $Q = \text{diag}(q_1, q_2)$  e  $R = r_1$ , onde  $q_1$  representa a importância na minimização do erro de posição da esfera,  $q_2$  representa a importância na minimização das oscilações para evitar elevado sobre-sinal e  $r_1$  a importância na minimização da amplitude da atuação de controle para evitar a saturação.

### 4.2 Observador de Estados - Filtro de Kalman

A estimação  $\hat{\sigma}_{x|y}(k)$  dos estados reais  $\sigma_{x|y}(k)$  é realizada pela predição *a priori* (segundo o modelo aumentado sistema) pela equação

$$\hat{\sigma}_{x|y}(k)_{\text{priori}} = \mathcal{A}_\sigma \hat{\sigma}_{x|y}(k-1) + \mathcal{B}_\sigma u_{x|y}(k-1)$$

e pela correção *a posteriori* por um vetor de ganhos  $L$ , conforme a expressão

$$\hat{\sigma}_{x|y}(k)_{\text{posteriori}} = \hat{\sigma}_{x|y}(k)_{\text{priori}} + L e_{x|y}(k),$$

onde o termo  $e_{x|y}(k)$ , expresso por

$$e_{x|y}(k) = z_{x|y}(k) - C_\sigma \hat{\sigma}_{x|y}(k)_{\text{priori}},$$

significa o erro entre as saídas medidas e estimadas *a priori* pelo modelo.

Para extrair os estados estimados  $\hat{\varphi}_{x|y}(k)$  requeridos pela lei de controle em (3) a partir dos estados estimados  $\hat{\sigma}_{x|y}(k)$  basta aplicar a relação em (2).

O ganho  $L$  ótimo (ganho de *Kalman*) é encontrado pela minimização do funcional de custo

$$J_{Kalman} = \sum_{k=0}^{\infty} (\sigma_{x|y} - \hat{\sigma}_{x|y})^2.$$

Supondo que as medições possuem ruído  $v(k)$ , que os estados do modelo possuem incerteza  $w(k)$  e que ambos  $v(k)$  e  $w(k)$  possuem distribuição gaussiana, com média zero e matrizes de covariância  $V$  e  $W$ , respectivamente, calcula-se o ganho ótimo  $L$  que minimiza  $J_{Kalman}$  pela expressão

$$L = \mathcal{A}_\sigma P C'_\sigma (C_\sigma P C'_\sigma + V)^{-1}$$

onde  $P$ , neste caso, é a solução para a seguinte *Equação de Riccati*

$$P = \mathcal{A}_\sigma (P - P C'_\sigma (C_\sigma P C'_\sigma + V)^{-1} C_\sigma P) \mathcal{A}'_\sigma + W,$$

a qual novamente foi resolvida pela função “dare” do software *MATLAB*.

As matrizes de covariância  $W$  e  $V$  foram definidas conforme  $W = \text{diag}(w_1, w_2, w_3, w_4, w_5)$  e  $V = v_1$ , onde aumentando os valores em  $V$  e diminuindo em  $W$  confia-se mais na predição do modelo, já diminuindo  $V$  e aumentando  $W$  confia-se mais nas medições.

## 5 Processamento de Imagens

Para a medição da posição da bola sobre a placa foi desenvolvido um método de servo-visão *position-based*, que consiste na determinação das coordenadas reais  $x_B$  e  $y_B$  pelos *pixels* das imagens. O algoritmo foi programado no software *MATLAB* que oferece suporte para comunicação com a câmera e funções para tratamento das imagens.

A detecção na imagem da posição bola e dos cantos é a primeira etapa do processamento. Para isto, as imagens no espaço de cores original são convertidas para o formato binário (preto e branco), utilizando a função “*im2bw*” do *MATLAB*. Então é determinado o centroide e a área de cada objeto pela função “*regionprops*”. A área tem a função de diferenciar a bola dos cantos.

A segunda etapa consiste em aplicar relações geométricas para determinar a posição física da esfera sobre a plataforma de acordo com a localização observada na imagem dos cantos da placa.

## 6 Resultados

Nesta seção serão apresentados os resultados experimentais para os seguintes cenários:

- (a) Ondas quadradas de referência para as coordenadas  $x_B$  e  $y_B$  com período de 150 amostras, amplitude  $70\text{ mm}$  e defasagem de  $90^\circ$  entre as coordenadas para gerar uma trajetória em formato quadrado.
- (b) Ondas senoidais de referência para as coordenadas  $x_B$  e  $y_B$  com período de 70 amostras, amplitude  $100\text{ mm}$  e defasagem de  $90^\circ$  entre as coordenadas para gerar uma trajetória em formato circular.

Os parâmetros do protótipo e as configurações para síntese do controle *LQG* estão apresentados na Tabela 1. Para tais valores foram obtidos os ganhos  $K = [-1,92 \quad -0,85]$  para a realimentação de estados e  $L = [0,94 \quad 9,11 \quad -3,34 \quad 32,83 \quad 0,38]'$  para o observador de estados.

O controle foi implementado em tempo discreto em um *PC*, pelo software *MATLAB*, com período de amostragem  $T_s$  de  $0,0338\text{ s}$ , onde  $0,0334\text{ s}$  corresponde ao período de aquisição da câmera e  $0,0004\text{ s}$  ao tempo de processamento. O atraso de

Tabela 1: Parâmetros do sistema.

Símbolo	Valor	Símbolo	Valor
$m_B$	$0,02\text{ kg}$	$q_1$	$4,6$
$r_B$	$0,0125\text{ m}$	$q_2$	$0,48$
$\omega_n$	$15\text{ rad/s}$	$r_1$	$1$
$\xi$	$1$	$w_1$	$1$
$f_c$	$0,02\text{ N s/m}$	$w_2$	$1$
$g$	$9,81\text{ m/s}^2$	$w_3$	$2000$
$d_1$	$0,03\text{ m}$	$w_4$	$2000$
$d_2$	$0,14\text{ m}$	$w_5$	$2$
$d_3$	$0,05\text{ m}$	$v_1$	$10$

transporte devido a este tempo de processamento é desprezível em relação à dinâmica do sistema.

Os gráficos subsequentes (Figuras 4, 5, 6 e 7) apresentam em linha contínua a resposta real da movimentação da esfera e em linha tracejada a trajetória de referência.

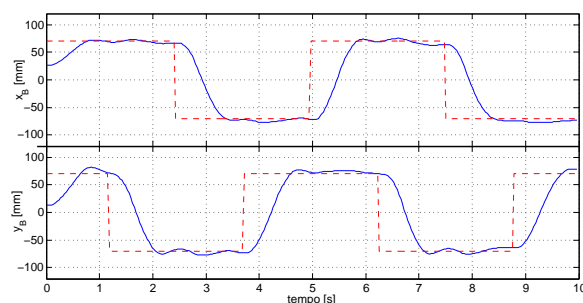


Figura 4: Resposta temporal no cenário (a).

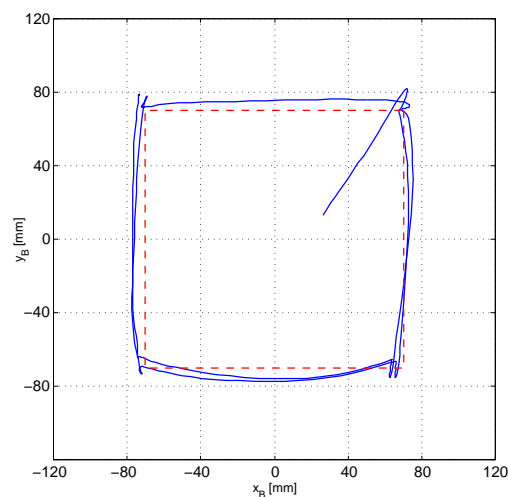


Figura 5: Trajetória nos cenário (a).

Pela análise do resultado no cenário (a), nas Figuras 4 e 5, pode-se avaliar a resposta ao degrau do sistema, com tempo de acomodação em torno de  $1\text{ s}$ , além de mínimo sobre-sinal e erro de regime.

No cenário (b) foram aplicadas referências senoidais com período de  $2\text{ s}$ . Verificou-se nas Figuras 6 e 7 pequenos erros de fase e amplitude, dado que nenhuma metodologia de seguimento de

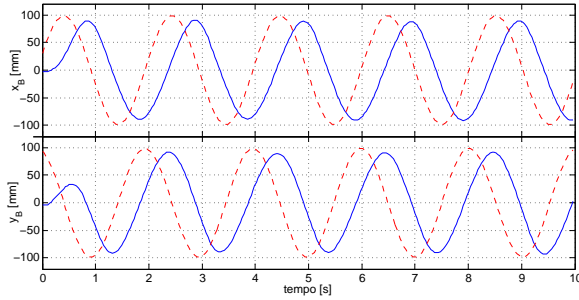


Figura 6: Resposta temporal no cenário (b).

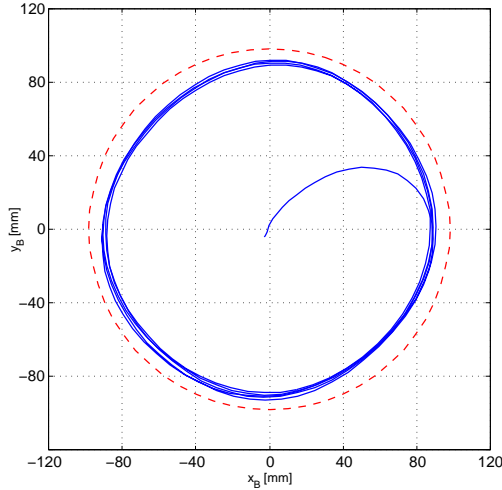


Figura 7: Trajetória no cenário (b).

referências senoidais (pelo Princípio do Modelo Interno) foi incorporada ao controle.

## 7 Conclusões

Neste projeto foi desenvolvido um protótipo e metodologias de controle para um sistema *Ball and Plate*, atingindo os objetivos de posicionamento da esfera e seguimento de trajetórias na placa. O método desenvolvido de servo-visão *position-based* combinado com o Filtro de *Kalman* permitiu estimações suaves e precisas, um importante fator para o correto controle da posição da esfera.

A perspectiva de trabalhos futuros é a aplicação das técnicas de controle ressonante e repetitivo para correção dos erros de amplitude e fase em referências periódicas senoidais.

## Referências

- Andrews, G., Colasuonno, C. and Herrmann, A. (2004). Ball on plate balancing system, *Technical report*, Rensselaer Polytechnic Institute.
- Awatar, S., Bernard, C., Boklund, N., Master, A., Ueda, D. and Craig, K. (2002). Mechatronic design of a ball-on-plate balancing system, *Mechatronics* **12**: 217–228.
- Braescu, F. C., Ferariu, L., Gilca, R., and Bordinianu, V. (2012). Ball on plate balancing

system for multi-discipline educational purposes, *Proceedings of the 16th International Conference on System Theory Control and Computing, Sinaia, Romania, 2012*, pp. 1–6.

- DeCarlo, R. (1995). *Linear Systems: A State Variable Approach with Numerical Implementation*, Prentice Hall, NJ. 495 pages.
- Deriglazov, A. (2010). *Classical Mechanics - Hamiltonian and Lagrangian Formalism*, Springer. 400 pages.
- Dorato, P., Abdallah, C. C. T. and Cerone, V. (1995). *Linear Quadratic Control: An Introduction*, Krieger Publishing Company, FL. 215 pages.
- Duan, H., Tian, Y. and Wang, G. (2009). Trajectory tracking control of ball and plate system based on auto-disturbance rejection controller, *Proceedings of the 7th Asian Control Conference, Hong Kong, China, 2009*, pp. 471–476.
- Ker, C. C., Lin, C. E. and Wang, R. T. (2007). Tracking and balance control of ball and plate system, *Journal of the Chinese Institute of Engineers* **30**(3): 459–470.
- Lee, K.-K., Bätz, G. and Wollherr, D. (2008). Basketball robot: Ball-on-plate with pure haptic information, *Proceedings of the IEEE International Conference on Robotics and Automation, Pasadena, USA, 2008*, pp. 2410–2415.
- Moarref, M., Saadat, M. and Vossoughi, G. (2008). Mechatronic design and position control of a novel ball and plate system, *Proceedings of the 16th Mediterranean Conference on Control and Automation Congress Centre, Ajaccio, France, 2008*, pp. 1071–1076.
- Park, J. H. and Lee, Y. J. (2003). Robust visual servoing for motion control of the ball on a plate, *Mechatronics* **13**: 723–738.
- Waldwogel, R. (2010). *Mpc control of a ball and plate system - theory and implementation*, Master's thesis, Institute fur Automatik.
- Wang, H., Tian, Y., Sui, Z., Zhang, X. and Ding, C. (2007). Tracking control of ball and plate system with a double feedback loop structure, *Proceedings of the International Conference on Mechatronics and Automation, Harbin, China, 2007*, pp. 1114–1119.
- Zia, A. (2011). Polar and polygon path traversal of a ball and plate system, *Proceedings of the International Conference on Electrical and Control Engineering, Yichang, China, 2011*, pp. 4005–4009.